

الله
بِسْمِ اللّٰهِ الرَّحْمٰنِ الرَّحِيْمِ



۱۳۵۰

دانشگاه اراک

دانشکده علوم پایه

کارشناسی ارشد شیمی (گرایش آلی)

سنتر مشتقات مونو و بیس-۲-آمینو-۳،۵-دی کربونیتریل-۶-آلکوکسی پیریدین

از طریق واکنش‌های شبه چهارجزئی و شبه هفتجزئی

و

سنتر و شناسایی مشتقات جدید فنالوسیانین حاوی استخلاف

بیس(ایندولیل)متان

پژوهشگر :

اعظم خدادادی

استاد راهنما :

دکتر علیرضا کریمی

استاد مشاور :

دکتر خلیل فقیهی

تابستان ۱۳۹۰

بسم الله الرحمن الرحيم

عنوان :

سنتز مشتقات مونو و بیس-۲-آمینو-۳،۵-دی کربونیتریل-۶-آلکوکسی پیریدین
از طریق واکنش‌های شبه چهارجزئی و شبه هفت‌جزئی

و

سنتز و شناسایی مشتقات جدید فتالوسیانین حاوی استخلاف بیس(ایندولیل) متان

توسط :

اعظم خدادادی

پایان نامه

ارائه شده به مدیریت تحصیلات تکمیلی به عنوان بخشی از فعالیت‌های تحصیلی لازم برای
اخذ درجه کارشناسی ارشد
در رشته شیمی (گرایش آلبی)

از

دانشگاه اراک

اراک - ایران

ارزیابی و تصویب شده توسط کمیته پایان نامه با درجه: ... عالی ...

دکتر علیرضا کریمی (استاد راهنما و رئیس کمیته)
دکتر خلیل فقیهی (استاد مشاور)
دکتر اکبر مبینی خالدی (دانشگاه اراک)
دانشیار
استاد
.....

چکیده

در قسمت اول از این پژوهش روشی ساده برای تهیه مشتقات مونو و بیس -۲- آمینو-۳-۵،۶- کربونیتریل-آلکوکسی پیریدین، ارائه شده است. مشتقات مذکور توسط واکنش‌های چندجزئی حاصل از تراکم مالونونیتریل، آلدهیدهای آروماتیک یا دی‌آلدهیدهای مختلف در الكل و در حضور پتابسیم کربنات به عنوان باز، به دست آمده‌اند.

در قسمت دوم کار نیز به سنتز مشتقات جدید فلزی و بدون فلز فتالوسیانین‌های حاوی چهار واحد بیس(ایندولیل) متان پرداخته شده است. فتالوسیانین‌های فلزی از واکنش مشتقات فتالونیتریل با نمک‌های فلزی $[Zn(CH_3COO)_2, CoCl_2]$ و در شرایطی چون حضور کاتالیزگر بازی DBU و انجام واکنش در حلحل دی‌متیل آمینو اتانول به دست آمده‌اند. مشتق فتالوسیانین بدون فلز سنتز شده نیز در شرایطی مشابه آنچه در مورد فتالوسیانین‌های فلزدار گفته شد، حاصل شده است.

جدول نمادها

ردیف	نماد	نام
۱	FT- IR	طیف مادون قرمز
۲	¹ H-NMR	طیف رزونانس مغناطیسی هسته پروتون
۳	¹³ C-NMR	طیف رزونانس مغناطیسی هسته کربن
۴	TLC	کروماتوگرافی لایه نازک
۵	CHN	آنالیز عنصری(درصد کربن، هیدروژن،....)
۶	DMSO	دی متیل سولفواکساید
۷	DMAE	دی متیل آمینو اتانول N,N
۸	DBU	۱-آزا بای سیکلو دک-۷-ان
۹	DMF	دی متیل فرمامید
۱۰	MALDI	یونیزاسیون لیزری به کمک ماتریکس
۱۱	TBAF	تترابوتیل آمونیوم فلوراید
۱۲	CTAB	ستیل تری متیل آمونیوم برمايد
۱۳	[bmlm]OH	۱-بوتیل-۳-متیل ایمیدازولیوم هیدروکسید
۱۴	HDMBAB	هگزا دسیل دی متیل بنزیل آمونیوم برمايد
۱۵	BTBAC	بنزیل تری بوتیل آمونیوم کلراید
۱۶	-OAC	استات
۱۷	Pc	فتالوسیانین
۱۸	ν_{\max}	عدد موجی ماکزیمم
۱۹	N ₂	اتمسفر نیتروژن

فهرست مطالب

صفحه	عنوان
I.....	چکیده
II.....	جدول نمادها
III.....	فهرست

فصل اول

بخش اول؛ مقدمه

فهرست

فصل اول

بخش دوم: عملیات تجربی

۱۸	۱-۲-۱ - مقدمه
۱۹	۲-۲-۱ - مواد مصرفی
۱۹	۳-۲-۱ - تجهیزات استفاده شده.
۲۰	۴-۲-۱ - سنتز ترکیبات J - 4a و 4k - l
۲۰	۱-۴-۲-۱ - روش سنتز مونو-۲-آمینو-۳،۵-دیکربونیتریل-۶-آلکوکسی پیریدین J - 4a - l
۲۱	۱-۴-۲-۱ - روش سنتز بیس-۲-آمینو-۳،۵-دیکربونیتریل-۶-آلکوکسی پیریدین 4k - l
۲۱	۱-۵-۲-۱ - داده‌های طیفی محصولات

فصل اول

بخش سوم: بحث و نتیجه گیری

۲۹	۱-۳-۱ - بهینه سازی شرایط واکنش‌ها
۲۹	۱-۳-۱ - انتخاب باز مناسب و بهینه سازی زمان واکنش
۳۱	۲-۱-۳-۱ - بهینه‌سازی حلال واکنش
۳۱	۳-۱-۳-۱ - بهینه سازی دمایی و سایر شرایط واکنش
۳۵	۲-۳-۱ - تجزیه و تحلیل داده‌های طیفی
۳۵	۱-۲-۳-۱ - تفسیر طیف‌های ترکیب 4a
۳۶	۱-۲-۳-۱ - تفسیر طیف‌های ترکیب 4e
۳۸	۱-۲-۳-۱ - تفسیر طیف‌های ترکیب 4i
۳۹	۱-۲-۳-۱ - تفسیر طیف‌های ترکیب 4k
۴۰	۱-۳-۳-۱ - مکانیسم واکنش
۴۱	۱-۴-۳-۱ - نتیجه گیری

فصل دوم

بخش اول: مقدمه

۴۳	۱-۱-۲- معرفی فتالوسیانین‌ها
۴۴	۲-۱-۲- تاریخچه کشف فتالوسیانین‌ها
۴۵	۳-۱-۲- سنتز فتالوسیانین‌های فلزی و فتالوسیانین‌های عاری از فلز
۴۵	الف- استفاده از ارتو فتالونیتریل
۴۶	ب- استفاده از فتالیک انیدرید
۴۶	ج- استفاده از ۲-سیانو بنزآمید
۴۶	۲-۱-۴- اهمیت و کاربردهای فتالوسیانین‌ها
۴۷	۱-۴-۱-۲- کاربرد فتالوسیانین‌ها به عنوان رنگ‌های لیزری
۴۸	۲-۴-۱-۲- کاربرد فتالوسیانین‌ها در درمان فتودینامیکی
۴۹	۳-۴-۱-۲- کاربرد فتالوسیانین در حسگرها
۵۰	۴-۱-۲- کاربرد فتالوسیانین به عنوان کریستال‌های مایع
۵۰	۵-۱-۲- محدودیت‌های کاربرد فتالوسیانین‌ها
۵۱	۶-۱-۲- اثر استخلاف در حلایق فتالوسیانین‌های فلزدار
۵۲	۱-۶-۱-۲- مثال‌هایی از فتالوسیانین‌های دارای استخلاف محلول در آب
۵۴	۱-۶-۲- مثال‌هایی از فتالوسیانین‌های دارای استخلاف محلول در حلایق آلی
۵۵	۷-۱-۲- روش‌های شناسایی فتالوسیانین‌ها
۵۶	۱-۷-۱-۲- خواص UV-Vis ترکیبات
۵۷	۲-۷-۱-۲- پایداری حرارتی ترکیبات فتالوسیانین
۵۷	۸-۱-۲- ایندول و مشتقهای آن

۵۸	- خواص بیس(ایندولیل)متان‌ها	۱-۲-۸-۱
۵۹	- سنتز بیس(ایندولیل)متان‌ها	۲-۱-۸-۲

فصل دوم

بخش دوم: عملیات تجربی

۶۳	- مقدمه	۲-۲-۱-۲
۶۴	- مواد مصرفی	۲-۲-۲-۲
۶۴	- تجهیزات استفاده شده	۲-۲-۳-۳
۶۵	- سنتز مواد اولیه	۲-۲-۴-۴
۶۵	- سنتز ترکیب ۴-(۴- فرمیل فنوکسی) فتالونیتریل (۳)	۲-۲-۴-۱-۴
۶۶	- سنتز ترکیبات (۵a-b)	۲-۲-۴-۲-۲
	- سنتز ترکیبات فتالوسیانین عاری از فلز و فلزدار حاوی استخلاف بیس(ایندولیل)متان	۲-۲-۵-۲
۶۷		۲-۱۲
۶۸	- سنتز فتالوسیانین عاری از فلز (6)	۲-۲-۵-۱-۱
۶۹	- سنتز فتالوسیانین روی (7) (II)	۲-۲-۵-۲-۲
۶۹	- سنتز فتالوسیانین نیکل (8) (II)	۲-۲-۵-۳-۳
۶۹	- سنتز فتالوسیانین کبالت (9) (II)	۲-۲-۵-۴-۴
۷۰	- سنتز فتالوسیانین روی (10) (II)	۲-۲-۵-۵-۵
۷۰	- سنتز فتالوسیانین نیکل (11) (II)	۲-۲-۵-۶-۶
۷۱	- سنتز فتالوسیانین کبالت (12) (II)	۲-۲-۵-۷-۷
۷۱	- داده‌های طیفی محصولات ۳ ، 5a-b و 6-12	۲-۲-۶-۶

۷۷	- خصوصیات فیزیکی محصولات	۷-۲-۲
----	--------------------------	-------

فصل دوم

بخش سوم: بحث و نتیجه گیری

۷۹	- بررسی روند سنتز مشتقات فتالوسیانین و جستجوی شرایط بهتر	۱-۳-۲
۸۰	- روش خشک کردن پتابسیم کربنات و نمکهای فلزی استفاده شده	۲-۳-۲
۸۱	- تجزیه و تحلیل داده‌های طیفی	۳-۳-۲
۸۱	- تفسیر طیف ترکیب (3)	۳-۳-۲
۸۲	- تفسیر طیف‌های ترکیب (5b)	۲-۳-۳-۲
۸۳	- تفسیر طیف‌های ترکیب (6)	۳-۳-۳-۲
۸۴	- تفسیر طیف‌های ترکیب (8)	۴-۳-۳-۲
۸۵	- تفسیر طیف‌های ترکیب (11)	۵-۳-۳-۲
۸۶	- طیف جذبی UV-Vis ترکیبات (6-12)	۴-۳-۲
۸۶	- طیف جذبی UV-Vis ترکیب (6)	۴-۳-۲
۸۷	- طیف جذبی UV-Vis ترکیبات (7-9)	۴-۳-۲
۸۸	- طیف جذبی UV-Vis ترکیبات (10-12)	۴-۳-۲
۹۰	- طیف جذبی UV-Vis لیگاندهای (5a-b)	۴-۳-۲
۹۱	- اثر تجمع پذیری روی طیف جذبی فتالوسیانین‌ها	۴-۳-۲
۹۵	- خواص حرارتی ترکیبات (6-12)	۵-۳-۲
۱۰۰	- بررسی مکانیسم واکنش	۶-۳-۲

۱۰۱ ۷-۳-۲ نتیجه‌گیری

فصل سوم: طیف‌ها

- ۱۰۳ شکل ۱-۳: طیف FT-IR ترکیب (4a)
- ۱۰۴ شکل ۲-۳: طیف ^1H -NMR ترکیب (4a)
- ۱۰۵ شکل ۳-۳: طیف ^1H -NMR ترکیب (4a) (باز شده ناحیه آروماتیک)
- ۱۰۶ شکل ۴-۳: طیف FT-IR ترکیب (4b)
- ۱۰۷ شکل ۵-۳: طیف ^1H -NMR ترکیب (4b)
- ۱۰۸ شکل ۶-۳: طیف ^{13}C -NMR ترکیب (4b)
- ۱۰۹ شکل ۷-۳: طیف FT-IR ترکیب (4c)
- ۱۱۰ شکل ۸-۳: طیف ^1H -NMR ترکیب (4c)
- ۱۱۱ شکل ۹-۳: طیف FT-IR ترکیب (4d)
- ۱۱۲ شکل ۱۰-۳: طیف ^1H -NMR ترکیب (4d)
- ۱۱۳ شکل ۱۱-۳: طیف FT-IR ترکیب (4e)
- ۱۱۴ شکل ۱۲-۳: طیف ^1H -NMR ترکیب (4e)
- ۱۱۵ شکل ۱۳-۳: طیف ^{13}C -NMR ترکیب (4e)
- ۱۱۶ شکل ۱۴-۳: طیف FT-IR ترکیب (4f)
- ۱۱۷ شکل ۱۵-۳: طیف ^1H -NMR ترکیب (4f)
- ۱۱۸ شکل ۱۶-۳: طیف FT-IR ترکیب (4g)
- ۱۱۹ شکل ۱۷-۳: طیف ^1H -NMR ترکیب (4g)

١٢٠	شكل ٣-١٨: طيف ^{13}C -NMR تركيب (4g)
١٢١	شكل ٣-١٩: طيف FT- IR تركيب (4h)
١٢٢	شكل ٣-٢٠: طيف ^1H -NMR تركيب (4h)
١٢٣	شكل ٣-٢١: طيف ^1H -NMR (4h) (باز شده ناحيه آروماتيك)
١٢٤	شكل ٣-٢٢: طيف FT- IR تركيب (4i)
١٢٥	شكل ٣-٢٣: طيف ^1H -NMR تركيب (4i)
١٢٦	شكل ٣-٢٤: طيف ^{13}C -NMR تركيب (4i)
١٢٧	شكل ٣-٢٥: طيف FT- IR تركيب (4j)
١٢٨	شكل ٣-٢٦: طيف ^1H -NMR تركيب (4j)
١٢٩	شكل ٣-٢٧: طيف FT- IR تركيب (4k)
١٣٠	شكل ٣-٢٨: طيف ^1H -NMR تركيب (4k)
١٣١	شكل ٣-٢٩: طيف FT- IR تركيب (4l)
١٣٢	شكل ٣-٣٠: طيف ^1H -NMR تركيب (4l)
١٣٣	شكل ٣-٣١: طيف ^{13}C -NMR تركيب (4l)
١٣٤	شكل ٣-٣٢: طيف FT- IR تركيب (3)
١٣٥	شكل ٣-٣٣: طيف FT- IR تركيب (5a)
١٣٦	شكل ٣-٣٤: طيف ^1H -NMR تركيب (5a)
١٣٧	شكل ٣-٣٥: طيف ^1H -NMR (5a) (بازشده ناحيه آروماتيك)
١٣٨	شكل ٣-٣٦: طيف FT- IR تركيب (5b)
١٣٩	شكل ٣-٣٧: طيف ^1H -NMR تركيب (5b)

..... شکل ۳-۳: طیف $^1\text{H-NMR}$ ترکیب (5b) (باز شده ناحیه آروماتیک)	۱۴۰
..... شکل ۳-۳: طیف FT- IR ترکیب (6)	۱۴۱
..... شکل ۳-۴: طیف $^1\text{H-NMR}$ ترکیب (6)	۱۴۲
..... شکل ۳-۴: منحنی ترموگرام TGA ترکیب (6)	۱۴۳
..... شکل ۳-۴: طیف FT- IR ترکیب (7)	۱۴۴
..... شکل ۳-۴: طیف $^1\text{H-NMR}$ ترکیب (7)	۱۴۵
..... شکل ۳-۴: منحنی ترموگرام TGA ترکیب (7)	۱۴۶
..... شکل ۳-۴: طیف FT- IR ترکیب (8)	۱۴۷
..... شکل ۳-۴: طیف $^1\text{H-NMR}$ ترکیب (8)	۱۴۸
..... شکل ۳-۴: منحنی ترموگرام TGA ترکیب (8)	۱۴۹
..... شکل ۳-۴: طیف FT- IR ترکیب (9)	۱۵۰
..... شکل ۳-۴: منحنی ترموگرام TGA ترکیب (9)	۱۵۱
..... شکل ۳-۵: طیف FT- IR ترکیب (10)	۱۵۲
..... شکل ۳-۵: طیف $^1\text{H-NMR}$ ترکیب (10)	۱۵۳
..... شکل ۳-۵: منحنی ترموگرام TGA ترکیب (10)	۱۵۴
..... شکل ۳-۵: طیف FT- IR ترکیب (11)	۱۵۵
..... شکل ۳-۵: طیف $^1\text{H-NMR}$ ترکیب (11)	۱۵۶
..... شکل ۳-۵: منحنی ترموگرام TGA ترکیب (11)	۱۵۷
..... شکل ۳-۵: طیف FT- IR ترکیب (12)	۱۵۸
..... شکل ۳-۵: منحنی ترموگرام TGA ترکیب (12)	۱۵۹

۱۶۱	منابع
-----	-------

فهرست جداول

۲۲	جدول(۱-۱): داده‌های CHN (۴a) و $^1\text{H-NMR}$, FT-IR ترکیب
۲۲	جدول(۱-۲): داده‌های $^{13}\text{C-NMR}$, FT-IR ترکیب(۴b) و $^1\text{H-NMR}$
۲۳	جدول(۱-۳): داده‌های CHN (۴c) و $^1\text{H-NMR}$, FT-IR ترکیب
۲۳	جدول(۱-۴): داده‌های CHN (۴d) و $^1\text{H-NMR}$, FT-IR ترکیب
۲۴	جول(۱-۵): داده‌های $^{13}\text{C-NMR}$, FT-IR ترکیب(۴e) و $^1\text{H-NMR}$
۲۴	جدل(۱-۶): داده‌های CHN (۴f) و $^1\text{H-NMR}$, FT-IR ترکیب
۲۵	جدول(۱-۷): داده‌های $^{13}\text{C-NMR}$, FT-IR ترکیب(۴g) و $^1\text{H-NMR}$
۲۵	جدول(۱-۸): داده‌های CHN (۴h) و $^1\text{H-NMR}$, FT-IR ترکیب
۲۶	جدول(۱-۹): داده‌های $^{13}\text{C-NMR}$, FT-IR ترکیب(۴i) و $^1\text{H-NMR}$
۲۶	جدول(۱-۱۰): داده‌های CHN (۴j) و $^1\text{H-NMR}$, FT-IR ترکیب
۲۷	جدول(۱-۱۱): داده‌های CHN (۴k) و $^1\text{H-NMR}$, FT-IR ترکیب
۲۷	جدول(۱-۱۲): داده‌های $^{13}\text{C-NMR}$, FT-IR ترکیب(۴l) و $^1\text{H-NMR}$
۳۰	جدول(۱-۱۳): بهینه سازی مقدار باز مصرفی در زمان مناسب برای کامل شدن واکنش جهت سنتز مشتق مونو-۲-آمینو-۵،۳-دیکربونیتریل-۶-آلکوکسی پیریدین
۳۱	جدول(۱-۱۴): بهینه سازی حلال واکنش جهت سنتز مشتقات مونو-۲-آمینو-۵،۳-دیکربونیتریل-۶-آلکوکسی پیریدین
۳۲	جدول(۱-۱۵): بهینه سازی شرایط دمایی سنتز مشتقات مونو و بیس ۲-آمینو-۵،۳-دیکربونیتریل-۶-آلکوکسی پیریدین

جدول(۱۶-۱): سنتز مشتقات مونو و بیس ۲-آمینو-۵،۳-دیکربونیتریل-۶-آلکوکسی پیریدین.....	۳۳
جدول(۱-۲): داده‌های FT-IR ترکیب (۳)	۷۲
جدول(۲-۲): داده‌های FT-IR و (۱ ^H -NMR) ترکیب (۵a)	۷۲
جدول(۳-۲): داده‌های FT-IR و (۱ ^H -NMR) ترکیب (۵b)	۷۳
جدول(۴-۲): داده‌های FT-IR و (۱ ^H -NMR) ترکیب (۶)	۷۳
جدول(۵-۲): داده‌های FT-IR و (۱ ^H -NMR) ترکیب (۷)	۷۴
جدل(۶-۲): داده‌های FT-IR و (۱ ^H -NMR) ترکیب (۸)	۷۴
جول(۷-۲): داده‌های FT-IR ترکیب (۹)	۷۵
جدول(۸-۲): داده‌های FT-IR و (۱ ^H -NMR) ترکیب (۱۰)	۷۵
جدول(۹-۲): داده‌های FT-IR و (۱ ^H -NMR) ترکیب (۱۱)	۷۶
جدول(۱۰-۲): داده‌های FT-IR و (۱ ^H -NMR) ترکیب (۱۲)	۷۶
جدول(۱۱-۲): خصوصیات فیزیکی محصولات ۳ و ۵a-b	۷۷
جدول(۱۲-۲): خصوصیات فیزیکی محصولات 6-12	۷۷
جدول (۱۳-۲): نتایج مربوط به طیف جذبی UV-Vis ترکیبات 6-12 در حلول DMF	۸۹
جدول (۱۴-۲): نتایج مربوط به طیف جذبی UV-Vis ترکیبات 6-12 در حلول DMSO	۹۵
جدول (۱۵-۲): نتایج مربوط به آنالیز حرارتی فتالوسیانین‌های 6-12	۹۸

فصل اول

بخش اول

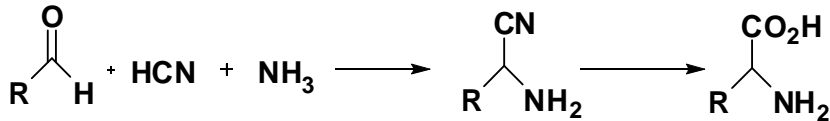
(مقدمه)

۱-۱-۱- واکنش‌های چندجزئی^۱:

توسعه روش‌های ساده سنتزی به منظور استفاده گسترده از ترکیبات آلی، یکی از مهم‌ترین اهداف در شیمی آلی بوده و هست و واکنش‌های چندجزئی از جمله ابزار قدرمند برای نیل به این هدف می‌باشند [۱].

واکنش‌های چندجزئی واکنش‌هایی هستند که در آنها سه جزء یا بیشتر در یک ظرف^۲، واکنش می‌دهند و تولید محصولی می‌کنند که نشانگر همه مواد ترکیب شونده است. به عبارتی در اکثر موارد تمامی اتم‌های کربن موجود در واکنشگرهای اولیه در محصول ظاهر می‌شوند [۲].

واکنش‌های چند جزئی برای نخستین بار توسط استرکر^۳ در سال ۱۸۵۰ میلادی کشف شد. وی این کار را از طریق اختلاط آلدھید، هیدروژن سیانید و آمونیاک در یک ظرف برای تولید α -آمینو اسید انجام داد. α -آمینونیتریل تولید شده طی این واکنش چندجزئی، در مرحله بعدی طی هیدرولیز، آمینو اسید مورد نظر را ایجاد می‌کند طرح (۱-۱) [۳].



طرح (۱-۱)

از جمله ویژگی‌های مناسب واکنش‌های چندجزئی می‌توان به سنتز مولکول‌ها و ساختارهای پیچیده و مفید به صورت سریع، کارآمد، مؤثر و بدون نیاز به جداسازی هرگونه حدواتسطی اشاره کرد.

چنین واکنش‌هایی با کاهش دادن تعداد مراحل سنتزی نسبت به روش‌های خطی و پشت سر هم باعث کاهش هدر رفت فراورده‌ها و تولیدات می‌شوند، از این رو هم از نظر اقتصادی به

^۱.Multi-component reactions

^۲.One-pot

^۳.Strecker

صرفه‌اند و هم مانع اتلاف وقت می‌گردند، ضمن اینکه عملکرد ساده این واکنش‌ها از دیگر مزایای آنها به شمار می‌آید، چرا که این واکنش‌ها اغلب تحت شرایط ملایم رخ می‌دهند. بنابر آنچه که گفته شد و با توجه به امتیازات قابل ملاحظه این واکنش‌ها اعم از سرعت و توان بالا، سادگی و تمیز بودن شرایط کار، کاهش بار آلودگی در راستای فرایندهای دوستدار محیط زیست و تنوع ساختاری بی‌نظیر محصولات، انتظار می‌رود مطالعه در باب بسط چنین واکنش‌هایی و طراحی انواع جدید و بهینه آن بیش از پیش انجام شود [۱۳-۴]. در سال‌های اخیر واکنش‌های چندجزئی که حداقل یک جزء آن را مالونونیتریل^۱ تشکیل می‌دهند بسیار گسترش یافته‌اند.

۱-۱-۲- مالونونیتریل:

مالونونیتریل یک ترکیب ساده اما فوق العاده استثنایی است چرا که فعالیت‌های بی‌نظیری را از طریق گروه‌های سیانوی الکترون کشنده که گروه متیلن را فعال می‌کنند از خود نشان می‌دهند، به عبارتی داشتن دو عامل الکتروفیلی (گروه‌های سیانو) و یک عامل نوکلئوفیلی (گروه متیلن) در این ترکیب از ویژگی‌های منحصر به فرد آن محسوب می‌شود [۱۴]. گروه متیلن و یک یا هر دو گروه سیانوی موجود در مالونونیتریل می‌توانند در واکنش‌های تراکمی شرکت کنند و محصولات افزایشی متنوع و ترکیبات هتروسیکلی گوناگونی را تولید کنند [۱۵-۱۶].

۱-۱-۳- واکنش‌های چندجزئی حاوی مالونونیتریل:

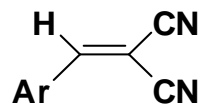
یک دسته از معمول‌ترین واکنش‌های چندجزئی حاوی مالونونیتریل واکنش‌هایی هستند که آله‌هید یا کتون یک جزء واکنش را تشکیل می‌دهند. این واکنش‌ها اغلب سه‌جزئی یا چهار‌جزئی هستند.

^۱. Malononitrile

در واکنش‌های سه‌جزئی از این قبیل، ضمن در اختیار داشتن مالونونیتریل (که گاهی به جای آن مشتق استری آن، اتیل‌سیانواستات و یا متیل‌سیانواستات به کار می‌رود) و با انتخاب مشتق‌های مختلف آلدهیدی یا کتونی و به کار بردن جزء سوم مناسب و فراهم کردن شرایط مطلوب، می‌توان واکنش‌های سه‌جزئی بی‌شماری را طراحی کرد. در این مقوله به برخی از واکنش‌های چندجزئی حاوی مالونونیتریل اشاره می‌شود:

۱-۱-۳-۱- واکنش‌های سه‌جزئی با استفاده از مالونونیتریل و آلدهید در حضور نوکلئوفیل‌های مختلف به عنوان جزء سوم واکنش:

شكل و اساس کلی این واکنش‌ها به این صورت است که ابتدا مالونونیتریل و آلدهید به عنوان دو جزء پایه واکنش تحت تراکم کنووناگل^۱ قرار گرفته و تولید حد واسط آریلیدن مالونونیتریل^۲ (در صورت استفاده از آلدهید آروماتیک) می‌کنند. این حد واسط در زیر نشان داده شده است..



سپس جزء سوم در مرحله بعد طی افزایش نوکلئوفیلی به این حد واسط اضافه می‌گردد که در نهایت با بسته شدن حلقه در اکثر موارد و ایزومریزاسیون احتمالی، تولید هتروسیکل‌های متنوعی را خواهیم داشت. البته همان‌طور که در ابتدای بحث گفته شد تمامی این مراحل در یک ظرف رخ می‌دهد و نیاز به جدا کردن حد واسط و انجام مراحل جداگانه نیست.

یک گروه از رایج‌ترین واکنش‌های سه‌جزئی که در آنها مالونونیتریل و آلدهید یا کتون دو جزء ثابت واکنش می‌باشند، واکنش‌هایی هستند که جزء نوکلئوفیلی سوم شامل ترکیباتی است که

¹. Kenoevenagel condensation

². Arylidene malononitrile